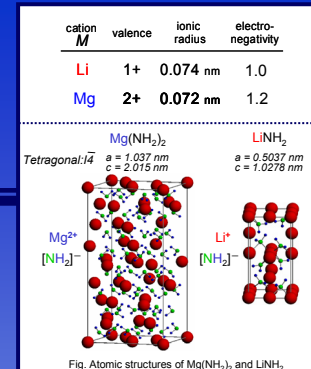


# リチウム-マグネシウム系錯体水素化物の水素貯蔵特性

東北大金研 ○(院)二宮彬仁、(院)北原学、中森裕子、折茂慎一



可逆的に高密度の水素貯蔵が可能であることから、近年、錯体水素化物による水素貯蔵が注目されている。しかし、その脱水素化温度は実用温度に達していないのが現状である。本研究グループでは次式で表されるMg(NH<sub>2</sub>)<sub>2</sub>の水素化・脱水素化反応を明らかにした。



今回は、この脱水素化温度を低下させることを目的として、Li、Mgの混合窒化物にミリング処理を行い、その効果について検討した。

## Results

### 水素化・脱水素化反応プロセス

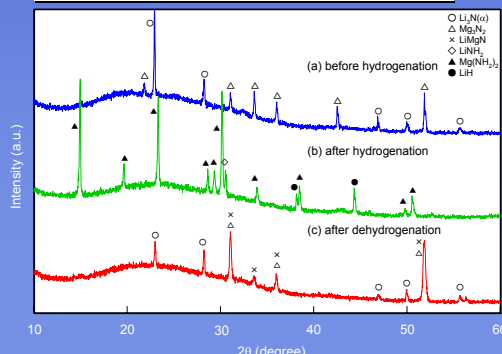


Fig. 1. Powder X-ray diffraction profiles of Li<sub>3</sub>N-20at.%Mg<sub>3</sub>N<sub>2</sub> (a) before hydrogenation, (b) after hydrogenation, (c) after dehydrogenation.

### ミリング処理 (Ar 0.1 MPa, 400 rpm)

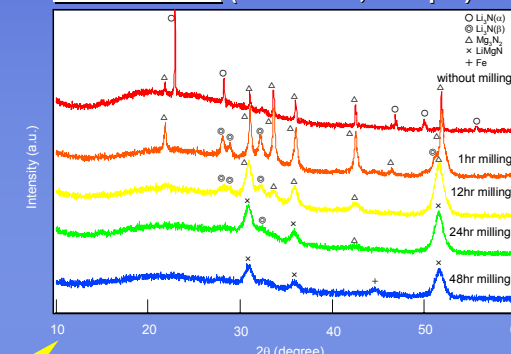


Fig. 2. Powder X-ray diffraction profiles of Li<sub>3</sub>N-20at.%Mg<sub>3</sub>N<sub>2</sub> ball-milled for various times in 0.1 MPa argon.

### 水素化 (H<sub>2</sub> 35 MPa, 523 K, 4 hr)

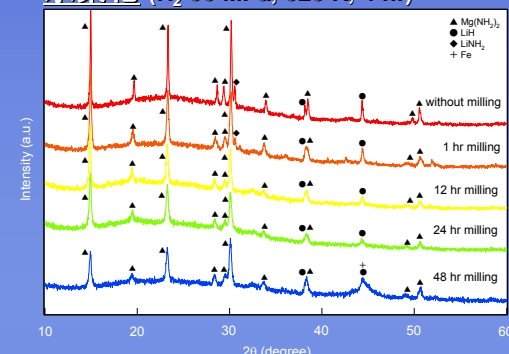


Fig. 4. Powder X-ray diffraction profiles of hydrogenated Li<sub>3</sub>N-20at.%Mg<sub>3</sub>N<sub>2</sub> ball-milled for various times in 0.1 MPa argon.

### 脱水素化 (Ar 0.1 MPa, 10 K/min)

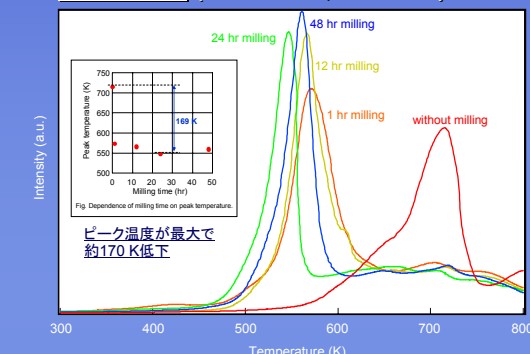
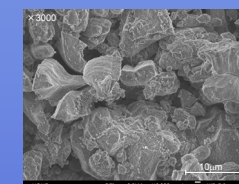
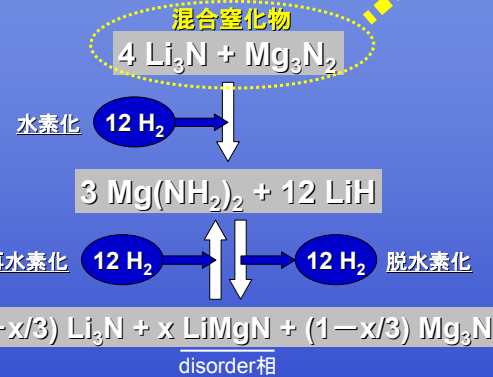


Fig. 6. Dehydrating reactions of hydrogenated Li<sub>3</sub>N-20at.%Mg<sub>3</sub>N<sub>2</sub> after ball milling and without ball milling.



(a) without milling (mixture)



(b) 1 hr milling

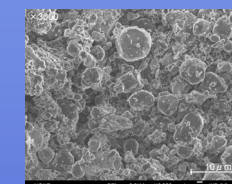


(c) 24 hr milling  
Fig. 3. SEM images of Li<sub>3</sub>N-20at.%Mg<sub>3</sub>N<sub>2</sub> (a) without milling, (b) with 1 hr milling, (c) with 24 hr milling at 3000-fold magnification.

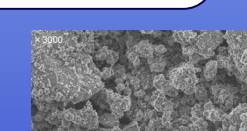
・ミリングにより混合窒化物の相が変化 (Fig.2)  
Li<sub>3</sub>N(α) + Mg<sub>3</sub>N<sub>2</sub> → Li<sub>3</sub>N(β) + Mg<sub>3</sub>N<sub>2</sub> → LiMgN(disorder)

・1時間のミリングで粒径が大幅に減少 (Fig.3)

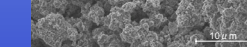
・ミリング時間によらず全て Mg(NH<sub>2</sub>)<sub>2</sub> と LiH に水素化 (Fig.4)



(a) without milling



(b) 1 hr milling



(c) 24 hr milling  
Fig. 5. SEM images of hydrogenated Li<sub>3</sub>N-20at.%Mg<sub>3</sub>N<sub>2</sub> (a) without milling, (b) with 1 hr milling, (c) with 24 hr milling at 3000-fold magnification.

### 触媒添加 (Ar 0.1 MPa, 10 K/min)

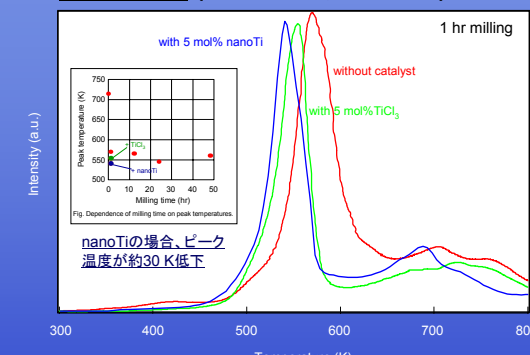


Fig. 7. Dehydrating reactions of hydrogenated Li<sub>3</sub>N-20at.%Mg<sub>3</sub>N<sub>2</sub> after ball milling for 1hr together with 5 mol.% nanoTi or TiCl<sub>3</sub> as a catalyst.

## Conclusion

・ミリング処理により混合窒化物の相は変化するが、水素化後は全て Mg(NH<sub>2</sub>)<sub>2</sub> と LiH が生成した。

・水素化前の混合窒化物にミリング処理、触媒添加を行うことにより、脱水素化温度を最大で約170 K低下させることができた。

References: (1) 北原ら 2004年日本金属学会春季大会, (2) Y.Nakamori et al. Appl. Phys. A (2004)

本研究の一部は、新エネルギー・産業技術総合開発機構(NEDO)の「水素安全利用等基盤技術開発事業」プロジェクトのもと、豊田中央研究所との共同研究により行われた。